

06.3; 07

БРЕГГОВСКАЯ ДИФРАКЦИЯ СВЕТА  
НА ОБРАТНЫХ ОБЪЕМНЫХ МАГНИТОСТАТИЧЕСКИХ  
ВОЛНАХ В НЕОДНОРОДНОМ МАГНИТНОМ ПОЛЕ

О.Л. Галкин, А.А. Климов,  
В.В. Преображенский,  
Ю.К. Фетисов, П.С. Костюк

Интерес к оптическим методам обработки сигналов СВЧ диапазона стимулировал исследования взаимодействия света с магнитостатическими волнами (МСВ) в магнитных пленках [1]. В частности, была осуществлена неколлинеарная дифракция света на МСВ различных типов [2-4]. В указанных работах вследствие малых величин волнового числа МСВ удалось получить лишь режим дифракции, близкий к режиму Рамана-Ната.

В настоящей работе сообщается о наблюдении неколлинеарного взаимодействия света с обратными объемными МСВ (ООМСВ). Путем трансформации величины волнового числа ООМСВ в неоднородном магнитном поле впервые реализован режим Брегга дифракции света на МСВ.

В экспериментах использовалась пленка железо-иттриевого граната (ЖИГ) толщиной 3.8 мкм, выращенная методом жидкофазной эпитаксии из раствора-расплава  $PbO - Ba_2O_3$  на подложке из галий-гадолиниевого граната с ориентацией (111). Пленка имела ширину линии однородного ферромагнитного резонанса на частоте 5 ГГц не более  $\Delta H \leq 0.5$  Э, для оптического излучения с длиной волны  $\lambda = 1.15$  мкм показатель преломления имел величину  $n = 2.22$ , коэффициент поглощения составлял  $\kappa \approx 3 \text{ см}^{-1}$ , а постоянная фарадеевского вращения равнялась  $F = 280$  град/см. Для возбуждения ООМСВ в диапазоне частот 5-6 ГГц применялся микрополосок шириной 50 мкм и длиной  $L = 10$  мм, нанесенный на поверхность пленки. Ввод в пленку и вывод оптического излучения с длиной волны  $\lambda = 1.15$  мкм проводился двумя призмами из  $GaP$  с цилиндрическими контактными поверхностями, приклеенными на пленку на расстоянии 12 мм друг от друга. Широкий оптический контакт призмы и пленки позволял осуществлять сканирование узким пучком света (с апертурой 1 мм) в плоскости пленки. Пленка ЖИГ помещалась во внешнее касательное магнитное поле  $H$ , неоднородное вдоль направления распространения ООМСВ (см. вставку на рис. 1), градиент поля имел величину  $\partial H_x / \partial X = 200$  э/см. Угол падения света на магнитостатическую волну выбирался близким к прямому.

Магнитооптическое взаимодействие света с ООМСВ, распространяющейся в пленке феррита, проявлялось в анизотропной дифракции света в первый порядок с преобразованием входной оптической ТМ моды в выходную оптическую ТЕ моду.

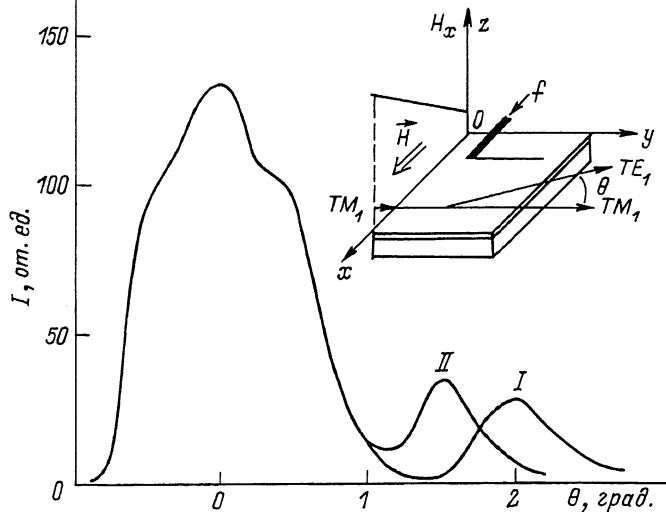


Рис. 1. Угловое распределение интенсивности I оптического излучения на выходе из пленки феррита для двух частот ООМСВ: I -  $f_1$ , II -  $f_2$ . На вставке показана геометрия эксперимента.

При малых расстояниях ( $X < 2$  мм) от пучка света до микрополоска и частотах ООМСВ вблизи верхней границы диапазона частот возбуждения волн в прошедшем излучении регистрировали два симметричных относительно нулевого порядка дифракционных максимума различной интенсивности, что характерно для переходного режима от дифракции Рамана-Ната к дифракции Брэгга.

При расстояниях  $X > 2$  мм и меньших частотах ООМСВ в прошедшем излучении кроме нулевого порядка наблюдали только один дифракционный максимум, отклоненный на угол  $+ \theta$ .

На рис. 1 показаны измеренные угловые распределения интенсивности нулевого порядка (ослаблен с помощью поляризатора в 30 раз) и дифрагированного излучения для двух частот ООМСВ ( $f_1 = 5600$  МГц и  $f_2 = 5680$  МГц) при расстоянии от возбуждающего микрополоска  $X = 3.5$  мм. Значительная ( $\sim 0.5$  град) угловая ширина дифракционных максимумов обусловлена, главным образом, расходимостью входного пучка света, она может быть уменьшена в несколько раз с помощью входной оптической формирующей системы. Эффективность дифракции линейно возрастала с увеличением мощности возбуждающего СВЧ сигнала и при  $P = 5$  мВт по отношению к интенсивности входного оптического излучения составляла  $\eta = 0.5\%$ .

На рис. 2 для тех же частот ООМСВ представлены измеренные зависимости величины угла отклонения  $\theta$ , определенного по максимуму интенсивности дифрагированного света, от расстояния

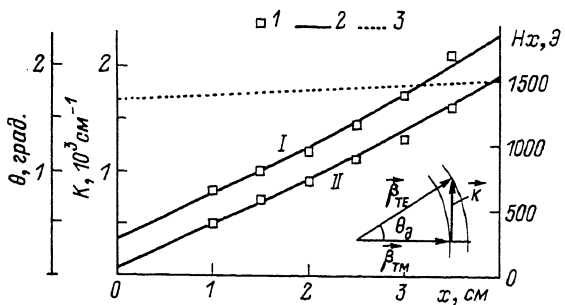


Рис. 2. Зависимость угла отклонения дифрагированного излучения  $\theta$  волнового числа ООМСВ  $K$  (1 – эксперимент, 2 – расчет) и напряженности магнитного поля  $H$  (3) от положения луча света: I –  $f_1$ , II –  $f_2$ . На вставке показана векторная диаграмма дифракции света.

между пучком света и микрополоском. Соответствующие каждому  $\theta$  значения волнового числа к ООМСВ находились из условия синхронизма для анизотропной дифракции  $\beta_{TM} + k = \beta_{TE}$  (см. вставку на рис. 2), где  $\beta_{TM} = 120910 \text{ см}^{-1}$ ,  $\beta_{TE} = 120972 \text{ см}^{-1}$  – постоянные распространения  $TM_1$  и  $TE_1$  мод соответственно [5]. При расчетах учтено отличие угла дифракции  $\theta_d = \theta/n$  от наблюдаемого угла отклонения света  $\theta$ , обусловленное преломлением пучка света при выходе из пленки феррита. Пунктирной линией на рисунке изображена измеренная зависимость напряженности магнитного поля  $H$  от координаты  $x$  вдоль направления распространения ООМСВ.

Трансформация величины волнового числа к ООМСВ, обусловленная неоднородностью магнитного поля  $H(x)$ , рассчитывалась методом геометрической оптики, который в рассматриваемом здесь одномерном случае сводится к простой подстановке в дисперсионное уравнение для ООМСВ  $\Omega(K, H, f) = 0$  [6] измеренной зависимости  $H(x)$  и решению полученного уравнения  $\Omega(K(x), H(x), f) = 0$  относительно  $K(x)$ . Рассчитанные для частот  $f_1$  и  $f_2$  зависимости  $K(x)$  (сплошные линии на рис. 2) демонстрируют увеличение волнового числа ООМСВ при удалении от микрополоска и находятся в хорошем соответствии с зависимостями, измеренными оптическим методом.

Как видно из рис. 2, на больших расстояниях от микрополоска угол отклонения оптического излучения составляет  $\theta \approx 2$  град, а волновое число ООМСВ достигает значений  $K_m = 2 \cdot 10^3 \text{ см}^{-1}$ . При этом параметр  $Q = k^2 l / 2\pi\beta$ , определяющий тип режима дифракции, имеет величину  $Q \approx 4$ , что свидетельствует о реализации режима дифракции Брегга.

Полученные результаты показывают возможность локального измерения оптическим методом больших значений волнового числа

МСВ, а предложенный метод получения больших углов дифракции может быть использован при разработке магнитооптических СВЧ дефлекторов и спектроанализаторов.

## Список литературы

- [1] Fisher A.D., Lee J.N., Gaynor E.S., Tveten A.B. // Appl. Phys. Lett. 1982. V. 41. N 9. P. 779-781.
- [2] Young D., Chen W., Tsai C.S. // IEEE Ultrasonics Symp. Proceed. Boston. 1984. P. 168-170.
- [3] Сигаев А.Н., Сташкевич А.А. // Письма в ЖТФ. 1988. Т. 14. В. 5. С. 469-472.
- [4] Тамада Н., Канеко М., Окамото Т. // J. Appl. Phys. 1988. V. 64. N 2. P. 554-559.
- [5] Прохоров А.М., Смоленский Г.А., Агееев А.Н. // УФН. 1984. Т. 143. № 1. С. 33-72.
- [6] Damon R.W., Eshbach J.R. // J. Phys. Chem. Solids. 1961. V. 19. N 3/4. P. 308-320.

Московский институт  
радиотехники, электроники  
и автоматики

Поступило в Редакцию  
28 июня 1989 г.

Письма в ЖТФ, том 15, вып. 22

26 ноября 1989 г.

05.4

### ВЛИЯНИЕ „ЗАХВАЧЕННОГО“ МАГНИТНОГО ПОТОКА НА КРИТИЧЕСКИЙ ТОК В ПЛЕНОЧНОМ $YBa_2Cu_3O_{7-\delta}$

Л. С. Топчян, Г.А. Харадзе,  
Т.Ш. Квирикашвили, Б.В. Бродский,  
И.А. Баглаенко, Ю.Н. Берозашвили,  
Д.Ш. Лордкипанидзе, Т.С. Шенгелия,  
В.Ш. Эдилашвили

В пленочных высокотемпературных сверхпроводниках (ВТСП) получены высокие значения критического тока [1-4], что открывает широкую возможность их использования в практике. Изучение токонесущей способности пленочных ВТСП в различных условиях внешнего воздействия, в том числе магнитного поля, представляется актуальной задачей. Нами исследованы вольт-амперные характеристики (ВАХ) пленочного  $YBa_2Cu_3O_{7-\delta}$  толщиной 6000 Å,